

# Outils temps-fréquence pour l'analyse des ondes gravitationnelles

**Patrick Flandrin**

*CNRS & École normale supérieure de Lyon*



Marseille, 11 oct. 2017

# écouter GW150914

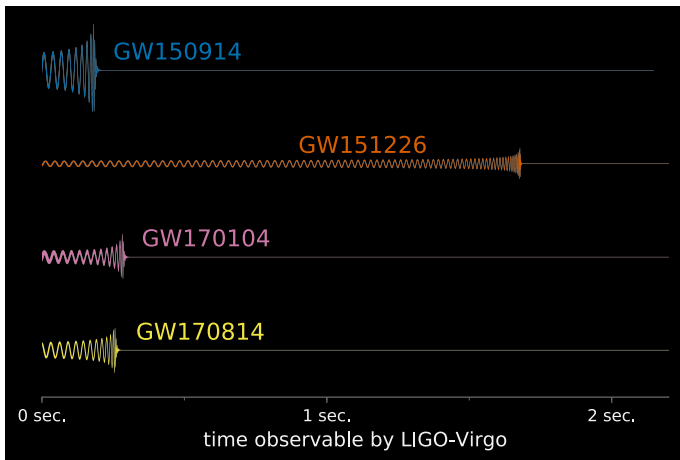


bande originale



transposé de 400 Hz

# les 4 événements détectés



# détecter/estimer

- ▶ **avec modèle**

- ▶ “chirp” de forme connue, dépendant de paramètres physiques du système
- ▶ **filtrage adapté**

- ▶ **sans modèle**

- ▶ excès local d'énergie dans le plan temps-fréquence et coïncidence entre détecteurs
- ▶ **“Coherent Wave Burst”** (S. Klimenko)

# modèle simplifié pour les coalescences de binaires

## ► “chirp”

$$x(t; t_0, d) = A(t_0 - t)^{-1/4} \cos \left( 2\pi d (t_0 - t)^{5/8} + \varphi \right) \mathbf{1}_{(-\infty, t_0[}(t),$$

avec :

- $t_0$  **instant** de coalescence
- $d \propto \mathcal{M}_\odot^{-5/8}$  ;  $\mathcal{M}_\odot = (m_1 + m_2)^{2/5} (m_1^{-1} + m_2^{-1})^{-3/5} / M_\odot$   
“**chirp mass**” réduite (rapportée à la masse solaire  $M_\odot$ )
- $A \propto \mathcal{M}_\odot^{5/4} / R$  ;  $R$  **distance** terre-binaire

## ► fréquence instantanée

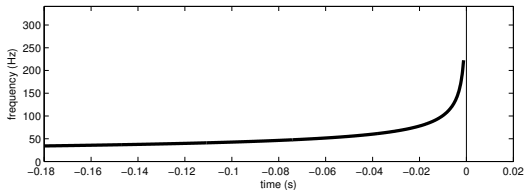
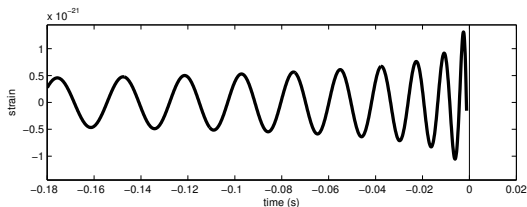
$$f_x(t) = \frac{5d}{8} (t_0 - t)^{-3/8} \mathbf{1}_{(-\infty, t_0[}(t)$$

## ► limitation

- **divergence** lorsque  $t \rightarrow t_0$  (**chirp ?** → exposé de S. Jaffard)
- complétion par “ring down”

# modèle simplifié pour les coalescences de binaires

- ▶ exemple inspiré de GW150914 :
  - ▶ masses individuelles de  $30 M_{\odot}$
  - ▶ distance de 800 Mpc



# chirps et temps-fréquence

## ▶ **interprétation**

- ▶ chirp = **trajectoire** dans le plan temps-fréquence

## ▶ **représentations localisées ?**

- ▶ **solution exacte** pour les chirps en lois de puissance [Bertrand & Bertrand, '88] mais :
  - ▶ représentation quadratique (à la Wigner)
  - ▶ calcul prohibitif
- ▶ **solution approchée**
  - ▶ spectrogramme réalloué [Kodera *et al.*, '76; Auger & F., '95, Chassande-Mottin & F., '99]
- ▶ **autres**
  - ▶ ondelettes [Innocent & Torresani, '97]
  - ▶ “synchrosqueezing” [Daubechies & Maes, '94]

# chirps et temps-fréquence

## ▶ **interprétation**

- ▶ chirp = trajectoire dans le plan temps-fréquence

## ▶ **représentations localisées ?**

- ▶ solution exacte pour les chirps en lois de puissance [Bertrand & Bertrand, '88] mais :
  - ▶ représentation quadratique (à la Wigner)
  - ▶ calcul prohibitif
- ▶ solution approchée
  - ▶ **spectrogramme réalloué** [Kodera *et al.*, '76; Auger & F., '95, Chassande-Mottin & F., '99]
- ▶ autres
  - ▶ ondelettes [Innocent & Torresani, '97]
  - ▶ “synchrosqueezing” [Daubechies & Maes, '94]

# “revisiter” le spectrogramme

## ▶ classiquement

- ▶ spectrogramme =  $|\text{TFCT}|^2$
- ▶  $\text{TFCT} = \langle x, \mathbf{T}_{t,f} h \rangle$ , avec  $h$  **fenêtre à court-terme** et  $\mathbf{T}_{t,f}$  opérateur de **translation** temps-fréquence

## ▶ de façon alternative

- ▶ spectrogramme =  $\iint W_x(s, \xi) W_h(s - t, \xi - f) ds d\xi$
- ▶  $W$  distribution de Wigner(-Ville) =  $\langle x, \Pi_{t,f} x \rangle$ , avec  $\Pi_{t,f}$  opérateur de **parité locale**

## ▶ interprétation

- ▶ **spectrogramme = Wigner lissée**
- ▶  $W$  parfaitement localisée sur les chirps **linéaires** unimodulaires
- ▶  $h$  gaussienne  $\Rightarrow W_h$  à **lissage minimal** dans le plan

# corollaire

## ▶ analogie mécanique

- ▶ distribution d'énergie par  $W_x \sim$  distribution de masse
- ▶ spectrogramme = masse totale sur le support de  $W_h$
- ▶ valeur affectée au **centre géométrique** de la cellule de lissage

## ▶ principe de réallocation [Kodera *et al.*, '76]

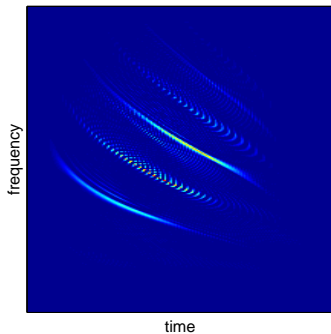
- ▶ réaffecter la valeur au **centre de gravité**
- ▶ information contenue dans la **phase** de la TFCT

## ▶ en pratique [Auger & F., '95]

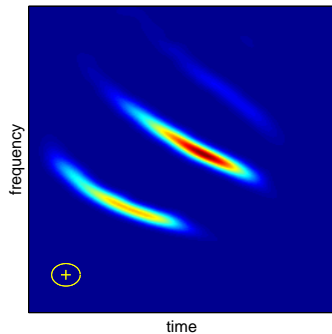
- ▶ calcul **implicite** des centres de gravité locaux en utilisant 3 TFCT basées sur  $h(t)$ ,  $t h(t)$  et  $(dh/dt)(t)$
- ▶ codes Matlab disponibles à [tftb.nongnu.org](http://tftb.nongnu.org)

# réallocation

Wigner-Ville

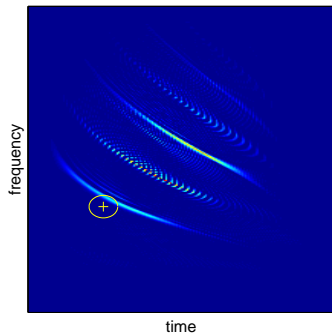


spectrogram

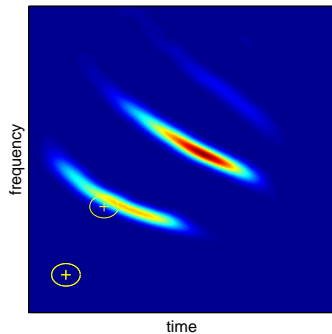


# réallocation

Wigner-Ville

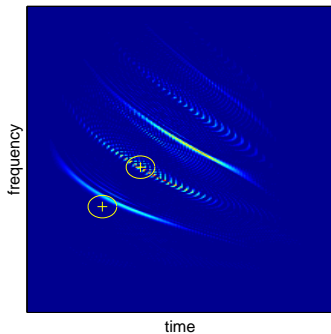


spectrogram

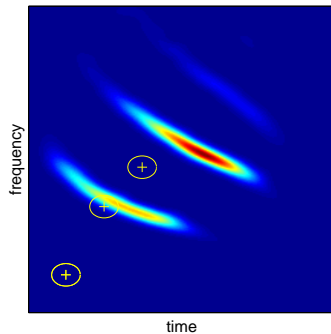


# réallocation

Wigner-Ville

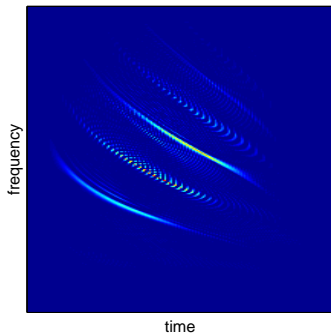


spectrogram

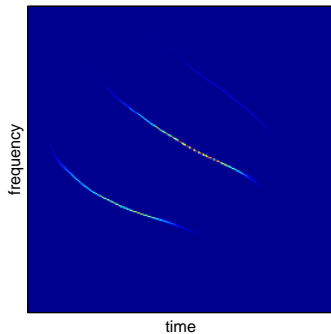


# réallocation

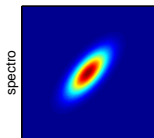
Wigner-Ville



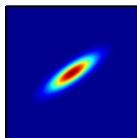
reassigned spectrogram



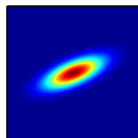
# quelle fenêtre ?



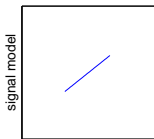
window = 21



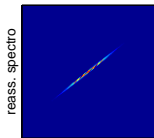
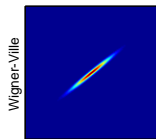
63



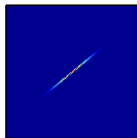
127 points



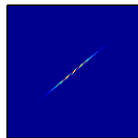
128 points



window = 21

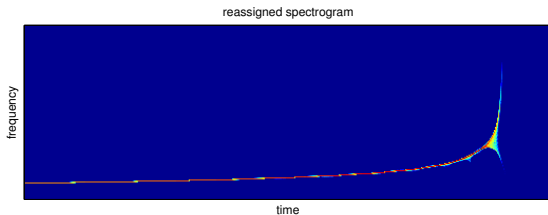
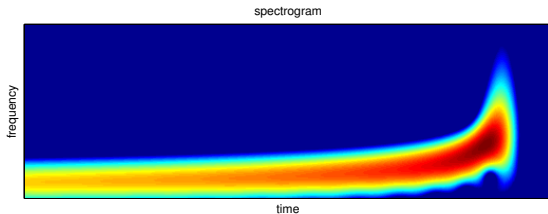


63



127 points

# retour sur le modèle inspiré de GW150914



# analyse avec modèle : filtrage adapté

## ▶ hypothèses

- ▶ structure imposée (filtrage **linéaire**)
- ▶ signal **connu** dans bruit **blanc**

## ▶ optimalité

- ▶ mesure de contraste = **SNR** en sortie du filtre
- ▶ réponse impulsionnelle = signal **retourné dans le temps**

## ▶ en pratique

- ▶ détection : **corrélation** observation-signal attendu + seuil
- ▶ estimation : autant de **gabarits** que de paramètres

filtrage adapté (sans bruit)

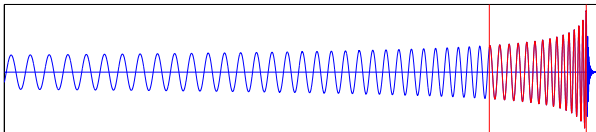


# filtrage adapté (avec bruit)

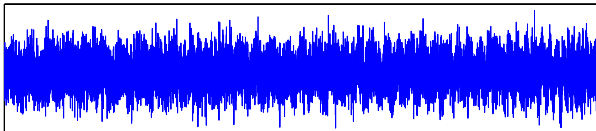


# filtrage adapté et modèle simplifié

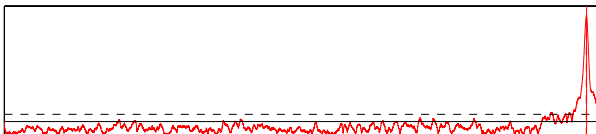
chirp de binaire coalescente + reference pour le filtre adapte



observation bruitée, SNR = -10 dB



enveloppe de la sortie du filtre adapte



# filtrage adapté temps-fréquence

- ▶ **choix d'une distribution temps-fréquence  $\rho$  idéalement**

- ▶ **unitaire** :  $|\langle x, r \rangle|^2 = \langle \rho_x, \rho_r \rangle$
- ▶ **localisée** :  $\rho_r(t, f) = \tilde{a}_r^2(t) \delta(f - f_r(t))$

- ▶ **stratégie approchée** [Chassande-Mottin & F., '99]

- ▶  $\rho = \tilde{S}$ , **spectrogramme réalloué**
- ▶ filtrage adapté = **intégration de chemin** dans le plan temps-fréquence

- ▶ **pour le modèle simplifié à 2 paramètres  $t_0$  et  $\mathcal{M}_\odot$**

$$(\hat{t}_0, \hat{\mathcal{M}}_\odot) = \arg \max_{(t_0, \mathcal{M}_\odot)} \int_{\mathcal{L}(t_0, \mathcal{M}_\odot)} \tilde{S}_y(t, f) f^{-2/3},$$

avec

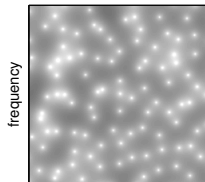
$$\mathcal{L}(t_0, \mathcal{M}_\odot) = \left\{ (t, f) \mid t_0 - t = 6.35 \times 10^5 \mathcal{M}_\odot^{-5/3} f^{-8/3} \right\}.$$

# analyse sans modèle : une vue *a contrario*

- ▶ **approche usuelle à l'idée de composante**
  - ▶ s'intéresser aux **grandes** valeurs temps-fréquence
  - ▶ leur associer une organisation **cohérente**
- ▶ **alternative** [F., '15]
  - ▶ s'intéresser aux **minima** plutôt qu'aux maxima
  - ▶ identifier des domaines **entre zéros**
- ▶ **substrat théorique**
  - ▶ transformée de **Bargmann** et factorisation de Weierstrass-Hadamard
  - ▶ propriétés des zéros des **"Gaussian Analytic Functions"** [Hough *et al.*, '09]

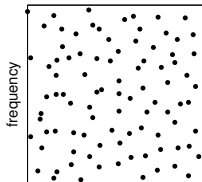
# triangulation de Delaunay basée sur les zéros

spectrogram



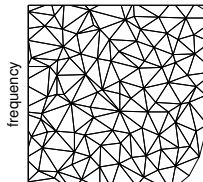
time

zeros



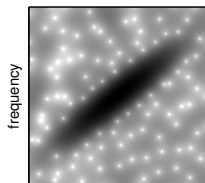
time

Delaunay



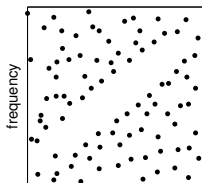
time

spectrogram



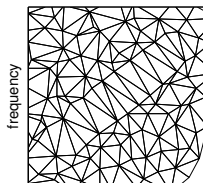
time

zeros



time

Delaunay



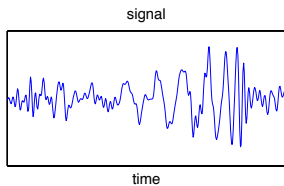
time

## Algorithme [F., '15]

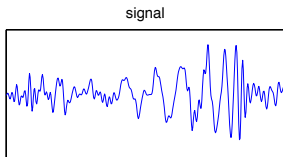
1. Calculer la **TFCT à fenêtre gaussienne circulaire**  $F_x^{(g)}(t, f)$  et le spectrogramme associé
2. Localiser les **zéros du spectrogramme**
3. Calculer la **triangulation de Delaunay** associée
4. Identifier les triangles **anormaux** % longueur des côtés
5. Garder les triangles avec **au moins un côté anormal**
6. Former des **domaines connexes**  $\mathcal{D}_j$  avec de tels triangles adjacents
7. **Reconstruire** les composantes correspondantes selon, par exemple,

$$x_j(t) = \frac{1}{g(0)} \int_{f \in \mathcal{D}_j | t} F_x^{(g)}(t, f) df$$

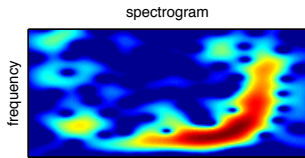
# chirp de GW10914 (Hanford)



# spectrogramme



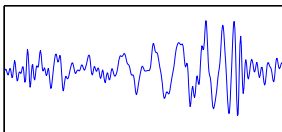
time



time

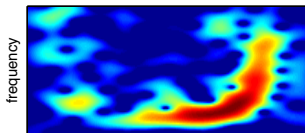
# zéros et triangulation de Delaunay

signal



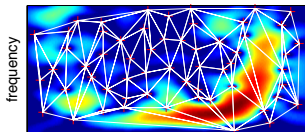
time

spectrogram



time

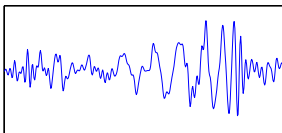
zeros-based Delaunay triangulation



time

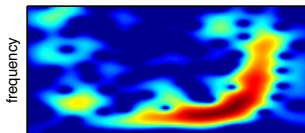
# domaines temps-fréquence

signal



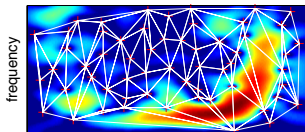
time

spectrogram



time

zeros-based Delaunay triangulation



time

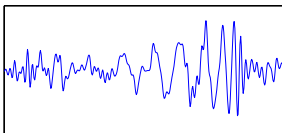
zeros-based Delaunay domains



time

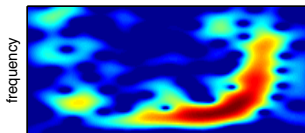
# spectrogramme masqué 1/0

signal



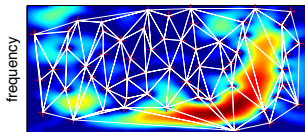
time

spectrogram



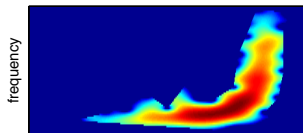
time

zeros-based Delaunay triangulation



time

masked spectrogram



time

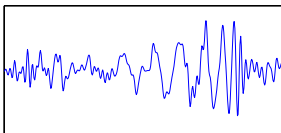
zeros-based Delaunay domains



time

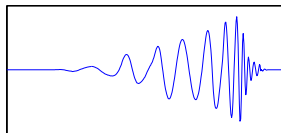
# reconstruction filtrée

signal



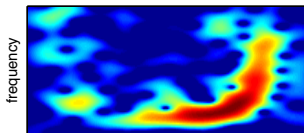
time

filtered signal



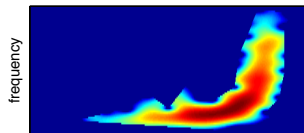
time

spectrogram



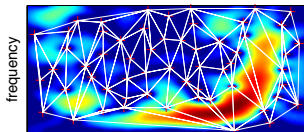
time

masked spectrogram



time

zeros-based Delaunay triangulation



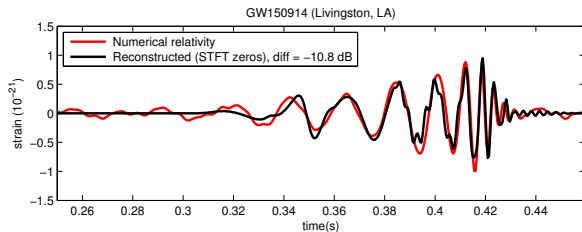
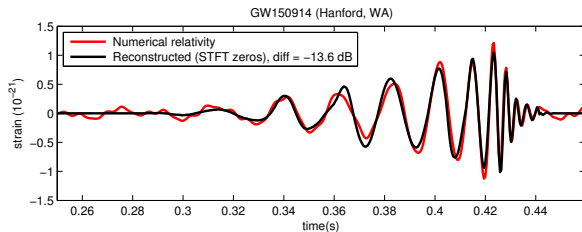
time

zeros-based Delaunay domains

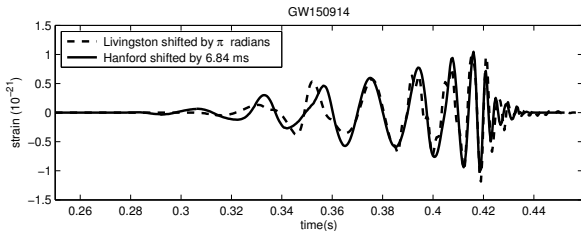
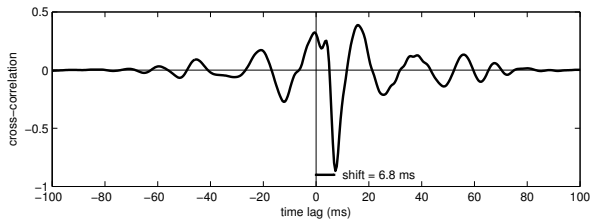


time

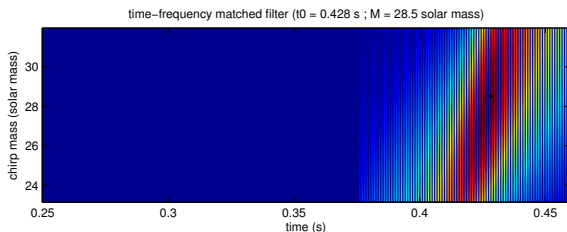
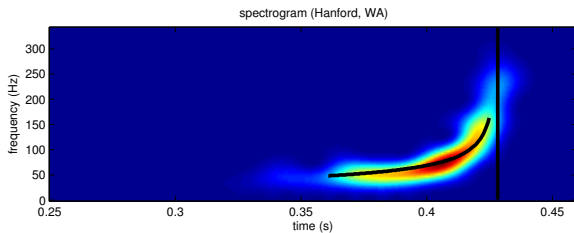
# observations filtrées vs. modèles (élaborés)



# de Livingston à Hanford

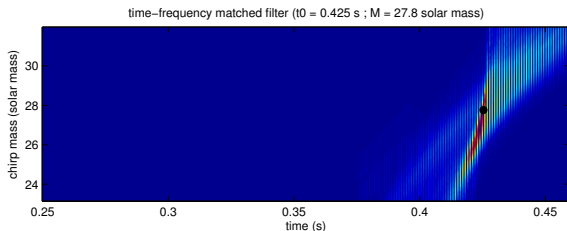
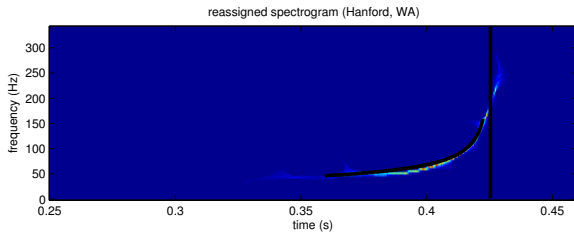


# filtrage adapté temps-fréquence



([Abbott *et al.*, '16] :  $m_1 = 36$  et  $m_2 = 29 \Rightarrow \mathcal{M}_\odot = 28$ )

# filtrage adapté temps-fréquence



([Abbott *et al.*, '16] :  $m_1 = 36$  et  $m_2 = 29 \Rightarrow \mathcal{M}_\odot = 28$ )

# pour conclure

## ► temps-fréquence

- espace “naturel” pour les chirps d’ondes gravitationnelles
- possibilités de **détection** et d’**estimation**
- **faisabilité** conceptuelle mais **beaucoup** reste à faire

## ► quelques références

- E. Chassande-Mottin, P. Flandrin, “On the time-frequency detection of chirps,” *Appl. Comp. Harm. Anal.*, Vol. 6, No. 2, pp. 252–281, 1999.
- P. Flandrin, F. Auger, and E. Chassande-Mottin, “Time-frequency reassignment — From principles to algorithms,” in *Applications in Time-Frequency Signal Processing* (A. Papandreou-Suppappola, ed.), Chapter 5, pp. 179–203, Boca Raton, FL: CRC Press, 2003.
- P. Flandrin, “Time-frequency filtering from spectrogram zeros,” *IEEE Signal Proc. Lett.*, Vol. 22, No. 11, pp. 2137–2141, 2015.
- P. Flandrin, “A note on the time-frequency analysis of GW150914,” Research report, <https://hal-ens-lyon.archives-ouvertes.fr/ensl-01370441>, 2016.
- P. Flandrin, *Explorations in Time-Frequency Analysis*, Cambridge, UK: Cambridge Univ. Press, à paraître 2018.

## ► (p)reprints et contact

- `perso.ens-lyon.fr/patrick.flandrin`
- `flandrin@ens-lyon.fr`